

РОССИЙСКАЯ АКАДЕМИЯ НАУК
СИБИРСКОЕ ОТДЕЛЕНИЕ
А В Т О М Е Т Р И Я

№ 4

2001

УДК 534.22

Р. М. Тазиев

(Новосибирск)

**УТОЧНЕНИЕ ТЕМПЕРАТУРНЫХ КОЭФФИЦИЕНТОВ
МАТЕРИАЛЬНЫХ КОНСТАНТ ЛАНГАСИТА**

Представлено уточнение температурных коэффициентов упругих постоянных лангасита исходя из экспериментальных данных температурной зависимости времени задержки объемных волн в лангасите.

Сравнительно недавно лангасит ($\text{La}_3\text{Ga}_5\text{SiO}_{14}$) привлек внимание исследователей как новый пьезоэлектрический материал. Лангасит – тригональный кристалл, принадлежащий к точечной группе симметрии (32), как α -кварц. Он имеет более низкую скорость поверхностной акустической волны (ПАВ) и больший коэффициент электромеханической связи (K^2) ПАВ по сравнению с α -кварцем. Эти свойства наиболее привлекательны для проектирования фильтров промежуточной частоты на ПАВ с миниатюрными размерами и широкой полосой пропускания.

Численному исследованию характеристик распространения ПАВ в лангасите (фазовой скорости, коэффициенту K^2 , температурному коэффициенту времени задержки (ТКЗ)) посвящено достаточно много работ [1–3], и только в нескольких статьях сообщается об их экспериментальном исследовании [4, 5]. Экспериментальные значения скорости и коэффициента K^2 ПАВ находятся в хорошем согласии с их расчетными значениями в X -, Y -, Z - и Z^{+140} -срезах лангасита. Однако измеренные значения ТКЗ ПАВ значительно отличаются от расчетных значений в вышеупомянутых срезах лангасита [4, 5].

В настоящей работе мы попытаемся объяснить причину такого большого расхождения между экспериментальными и расчетными значениями ТКЗ ПАВ. Исходя из экспериментальных значений для ТКЗ объемных волн в лангасите [6], получим уточненные температурные коэффициенты материальных констант лангасита.

Чувствительность ТКЗ ПАВ к различным температурным коэффициентам материальных констант лангасита. Будем исходить из недавно опубликованных [7, 8] данных для материальных констант лангасита и их температурных коэффициентов, которые представлены в табл. 1 и 2. В вычислениях параметров ПАВ используем материальные постоянные [8], поскольку только они обеспечивают наименьшее расхождение между экспериментальными и расчетными значениями скоростей объемных волн (отклонение не превышает 3–5 м/с). Нами были выполнены также предварительные расчеты ТКЗ ПАВ в лангасите с использованием материальных кон-

Т а б л и ц а 1
Упругие C_{ij} (10^{11} Н / м²), пьезоэлектрические e_{ij} (К / м²)
и диэлектрические константы ϵ_{ij} лангасита

Источник	C_{11}	C_{13}	C_{14}	C_{33}	C_{44}	C_{66}	ϵ_{11}	ϵ_{14}	ϵ_{11}/ϵ_0	ϵ_{33}/ϵ_0	ρ_s кг / м ³	α_{11} , $10^{-6}/^{\circ}\text{C}$	α_{33} , $10^{-6}/^{\circ}\text{C}$
[7]	1,893	0,9528	0,1493	2,624	0,5384	0,4216	-0,431	0,108	18,97	52,0	5743	5,07	3,6
[8]	1,888	0,959	0,141	2,614	0,535	0,42	-0,44	0,08	18,92	50,7	5743	5,11	3,6

П р и м е ч а н и е. ϵ_0 – диэлектрическая постоянная вакуума.

stant, приведенных в [7, 8]. Как видно из рисунка, действительно, использование данных [8] обеспечивает наилучшее согласие с экспериментами [4, 5].

Используя разложение в ряд фундаментальных материальных констант в окрестности начальной температуры T_0 по $\theta = T - T_0$:

$$C_{ij}(T) \approx C_{ij}(T_0)(1 + TC_{ij}\theta),$$

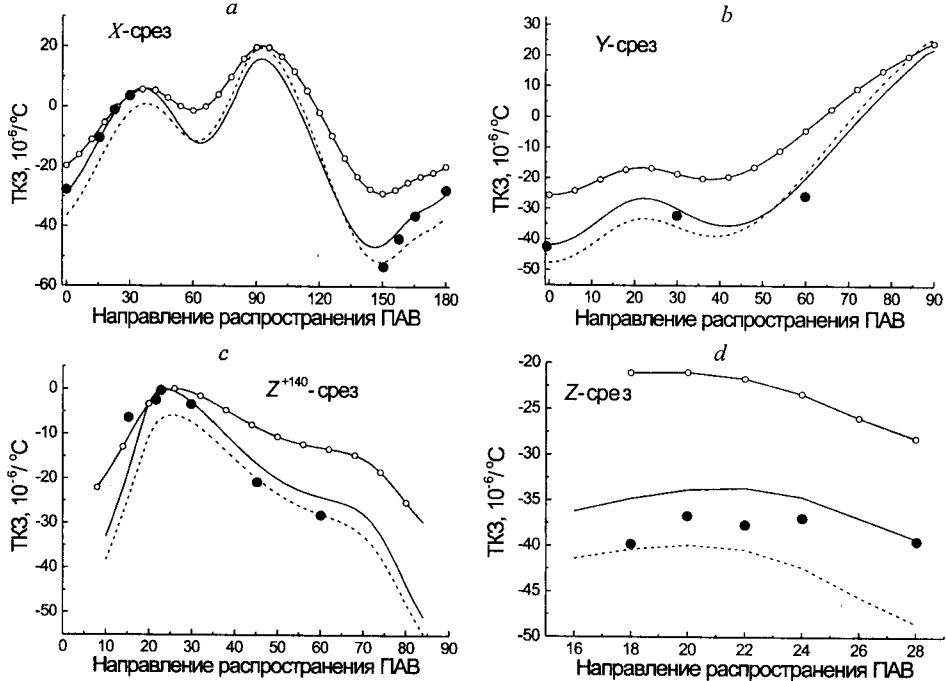
оценим чувствительность ТКЗ ПАВ к вариациям температурных коэффициентов всех материальных констант лангасита. В этом случае выражение для ТКЗ ПАВ может быть представлено в виде

$$\text{TKZ} = \alpha_{11} - TCV,$$

где $TCV = -\partial V / \partial T / V_0 = \sum (a_{ij}TC_{ij} + b_{ij}Te_{ij} + d_{ij}T\epsilon_{ij}) - T\rho/2$; TC_{ij} , Te_{ij} и $T\epsilon_{ij}$ – температурные коэффициенты упругих, пьезоэлектрических и диэлектрических констант лангасита соответственно; $T\rho$ – температурный коэффициент плотности; α_{ij} – постоянные теплового расширения. Коэффициенты a_{ij} , b_{ij} и d_{ij} легко вычисляются по формуле возмущения для относительного изменения скорости волны V . Для лангасита, имеющего симметрию α -кварца, ТКЗ ПАВ зависит только от десяти температурных коэффициентов материальных констант: TC_{11} , TC_{13} , TC_{14} , TC_{33} , TC_{44} , TC_{66} , Te_{11} , Te_{14} , $T\epsilon_{11}$ и $T\epsilon_{33}$. Согласно нашим предварительным расчетам наибольший вклад в величину ТКЗ ПАВ в лангасите дают только три температурных коэффициента: TC_{66} , TC_{44} и TC_{14} . Вклад от коэффициентов TC_{11} , TC_{33} заметно меньший, но им нельзя пренебречь. Вкладом остальных коэффициентов (TC_{13} , Te_{11} , Te_{14} , $T\epsilon_{11}$ и $T\epsilon_{33}$) можно пренебречь. Это позволяет предположить, что наблюдаемое расхождение между расчетными и экспериментальными зна-

Т а б л и ц а 2
Температурные коэффициенты материальных постоянных лангасита, $10^{-4}/^{\circ}\text{C}$

Источник	TC_{11}	TC_{13}	TC_{14}	TC_{33}	TC_{44}	TC_{66}	Te_{11}	Te_{14}	$T\epsilon_{11}$	$T\epsilon_{33}$
Уточненные данные	-0,663	-0,75	-3,348	-0,941	-0,628	-0,1346	5,87	6,25	1,5	-7,6
[8]	-0,675	-0,75	-3,175	-1,025	-0,675	0,079	5,87	6,25	1,5	-7,6
[7]	-0,53	-0,88	-2,05	-1,04	-0,62	-0,047	4,56	-6,28	1,37	-7,95



Зависимости ТКЗ ПАВ от направления распространения волны в X -, Y -, Z -, Z^{+140} -срезах лангасита: темные кружки – экспериментальные значения [5] (a, b, c) и [4] (d); расчетные значения ТКЗ: штриховая линия с данными из [6], сплошная линия со светлыми кружками – с данными из [7], сплошная кривая – с новыми, уточненными данными температурных коэффициентов упругих постоянных лангасита

чениями ТКЗ ПАВ связано, главным образом, с недостаточной точностью определения именно первых трех температурных коэффициентов материальных констант лангасита из экспериментальных значений ТКЗ объемных волн.

Коррекция температурных коэффициентов материальных констант лангасита. Воспользуемся экспериментальными данными из [6], которые частично представлены в табл. 3. Мы умышленно здесь выбрали только «чистые» направления (вдоль X -, Y -, Z -осей) распространения объемных волн, исключив из рассмотрения другие направления распространения. Наши предварительные численные исследования показали, что определение температурных коэффициентов материальных констант лангасита с минимальной стандартной ошибкой возможно только при использовании значений ТКЗ объемных волн, распространяющихся в «чистых» направлениях. Исходя из восьми экспериментальных значений ТКЗ объемных волн (см. табл. 3), мы можем определить пять температурных коэффициентов: TC_{11} , TC_{33} , TC_{14} , TC_{66} и TC_{44} , которые дают заметный вклад в величину ТКЗ ПАВ. Для их определения необходимо минимизировать квадратичную невязку

$$\sum_{n=1}^8 [\text{TKZ}_p^{(n)}(TC_{ij}) - \text{TKZ}_3^{(n)}]^2 = \min,$$

Таблица 3

Экспериментальные значения скорости и их температурные коэффициенты (TCV) для объемных волн в лангасите [6]

Направление распространения	Мода	Скорость, м/с	$TCV, 10^{-6}/^{\circ}\text{C}$
X	L	5748,7	-21,3
X	FS	3311,5	-43,7
X	SS	2379,6	53,5
Y	QL	5755,3	-29,9
Y	QS	3009,9	-14,1
Y	S	2738,0	13,6
Z	L	6746,7	-40,3
Z	S	3052,2	-27,8

здесь $\text{TKZ}_p^{(n)}$ и $\text{TKZ}_s^{(n)}$ – расчетные и экспериментальные значения ТКЗ для объемных волн или ПАВ в кристалле лангасита для n -го направления распространения волны. Температурные коэффициенты TC_{13} , Te_{11} , Te_{14} , Te_{11} и Te_{33} , которые не дают ощутимого вклада в ТКЗ ПАВ, были взяты такими же, как в [8], и при минимизации квадратичной невязки не варьировались. Полученные в результате минимизации уточненные значения температурных коэффициентов для материальных констант лангасита представлены в табл. 2. Из таблицы видно, что некоторые из уточненных коэффициентов заметно отличаются от данных [8]. Например, различие в значении температурного коэффициента TC_{66} , дающего наибольший вклад в ТКЗ ПАВ в лангасите, достигает 200 %. Как видно из рисунка, расчетные значения ТКЗ с новыми (уточненными) температурными коэффициентами упругих постоянных лангасита находятся в значительно лучшем согласии со всеми экспериментальными значениями, чем расчетные значения ТКЗ ПАВ с данными [7, 8].

СПИСОК ЛИТЕРАТУРЫ

1. Naumenko N. E. SAW and leaky waves in a new piezoelectric crystal of langasite // ISSWAS. 1994. P. 245.
2. Yakovkin I. B., Taziev R. M., Kozlov A. S. Numerical and experimental investigation SAW in langasite // IEEE Intern. Ultrason. Symp. Proc. 1995. P. 389.
3. Sato T., Murota M., Shimizu Y. Characteristics of Rayleigh and leaky surface acoustic wave propagating on a $\text{La}_3\text{Ga}_5\text{SiO}_{14}$ substrate // Jap. Journ. Appl. Phys. 1998. **37B**, N 5. P. 2914.
4. Briot E. H., Bigler E., Solal M. et al. Comparison between theoretical and experimental properties of SAW on Z-cut of langasite // EFTF. 1997. P. 340.
5. Inou K., Sato K. Propagation characteristics of surface acoustic waves on langasite // Jap. Journ. Appl. Phys. 1998. **37B**, N 5. P. 2909.

6. Турчин П. П. Нелинейные электромеханические свойства и распространение акустических волн в тригональном пьезоэлектрике $\text{La}_3\text{Ga}_5\text{SiO}_{14}$ в условиях статических внешних воздействий // Автореф. дис. ... канд. физ.-мат. наук. Красноярск, 1997.
7. Sakharov S., Senushenkov P., Medvedev A., Pisarevsky Yu. New data on temperature stability and acoustical losses of langasite // IEEE Intern. Freq. Contr. Symp. Proc. 1995. P. 647.
8. Sorokin B. P., Turchin P. P., Burkov S. I. et al. Influence of static electric field, mechanical pressure and temperature on the propagation of acoustic waves in $\text{La}_3\text{Ga}_5\text{SiO}_{14}$ piezoelectric single crystals // IEEE Intern. Freq. Contr. Symp. Proc. 1996. P. 161.

*Институт физики полупроводников СО РАН,
E-mail: taziev@thermo.isp.nsc.ru*

*Поступила в редакцию
21 марта 2001 г.*

Реклама продукции в нашем журнале – залог Вашего успеха!